



## مدلسازی اثرات خشکی دریاچه ارومیه بر روند گسترش شوری در اراضی کشاورزی حاشیه شرقی دریاچه با استفاده از تکنیک فازی شیء‌گرا

کیوان محمدزاده<sup>۱</sup>، بختیار فیضیزاده<sup>۲\*</sup>

- دانش آموخته کارشناسی ارشد سنجش از دور و سیستم اطلاعات جغرافیایی، دانشگاه تبریز
- استادیار دانشکده برنامه ریزی و علوم محیطی، دانشگاه تبریز

### مشخصات مقاله

### چکیده

تکنیک‌های تجزیه و تحلیل شیء‌گرای تصویر (OBIA) به عنوان یکی از روش‌های جدید پردازش تصاویر ماهواره‌ای در حوزه سنجش از دور مطرح هست که دارای پتانسیل قابل توجهی در مطالعات علوم خاک است. در این راستا OBIA به عنوان روشی شناخته شده است که جهت دستیابی به نتایج دقیق‌تر، الگوی طیفی و مکانی تصاویر ماهواره‌ای را با هم ادغام می‌کند. این رویکرد در برابر روش‌های پیکسل پایه که با چالش جدی تشابه خواص طیفی رویرو هستند، توسعه یافته است. هدف اصلی از این مطالعه بررسی شوری خاک و اعمال یک رویکرد یکپارچه از فازی شیء‌گرا جهت پایش تغییرات پوشش زمین در منطقه حاشیه شرق دریاچه ارومیه است که تحت تأثیر گسترش شوری بوده است. در همین راستا تصاویر ماهواره لندست ۷ سنجنده ETM<sup>+</sup> مربوط به سال ۲۰۰۰ و تصویر ماهواره لندست ۸ سنجنده OLI برای سال ۲۰۱۵ تهیه و پس از مرحله پیش‌پردازش، با اعمال شاخص‌های طیفی NDSI، NDVI، روشنایی، ROND شوری اراضی کشاورزی حاشیه شرقی دریاچه با استفاده از تکنیک فازی شیء‌گرا ارزیابی گردید. نتایج این مطالعه نشان داد که پیشرفت قابل توجهی در افزایش سطح شوری با نرخ بالای ۲۱/۵۴ درصد (۸۳۳/۱۸ کیلومترمربع) وجود دارد. با توجه به نتایج به دست آمده، زمین‌های با این شور با شبیه مثبت ۱۹/۷ درصد نشان‌دهنده نرخ رشد مثبت از ۱۵/۳ درصد به ۳۵/۰ درصد است. نتایج نشان داد که وضعیت بحرانی زیست‌محیطی برای اراضی کشاورزی شرقی دریاچه ارومیه نیاز به توجه جدی تضمین گیرندگان و مسؤولین در استان آذربایجان شرق دارد.

\* پست الکترونیکی مسئول مکاتبات: feizizadeh@tabrizu.ac.ir

## مقدمه

نیمه‌خشک که شرایط آب و هوايی نامناسب و افزایش جمعیت تقاضا را برای استفاده از زمین‌های کشاورزی باعث می‌شود، ضروری می‌سازد (۱۸، ۱۹ و ۲۱). داده‌های چند طیفی نظیر داده‌های ماهواره لندست، اسپات، آیکنوس، کوئیک برد و ماهواره‌های سری IRS بخوبی ماهواره‌های هایپریون در پایش و تهیه نقشه شوری مناسب و مفید هستند (۱۷). در راستای استفاده از این تصاویر سنجش از دور برای آشکارسازی روند تغییرات شوری خاک، تکنیک‌های پردازش شیءگرا به عنوان روش‌های نوین امکان مدل‌سازی روند تغییرات شوری را با دقیق‌ترالایی فراهم می‌آورند. این در حالی است که روش‌های کلاسیک در طبقه‌بندی تصاویر ماهواره‌ای توانایی محدودی در جدا نمودن کلاس‌هایی که اطلاعات طیفی مشابهی داشته و در هم ادغام می‌شوند، دارد؛ و این امر موجب کاهش صحت روش‌های طبقه‌بندی پیکسل پایه می‌گردد (۳۲). خشک شدن دریاچه ارومیه نه تنها بر منطقه آذربایجان بلکه بر مناطق هم جوار آن هم تأثیرهای بسیار زیادی خواهد گذاشت؛ که این امر اگر با معضلات و آسیب‌های اقتصادی اجتماعی ناشی از مهاجرت بی‌رویه در نظر گرفته شود تأیید می‌گردد که فجایع ناشی از خشک شدن دریاچه ارومیه به شدت بر اقتصاد و مسائل اکولوژیکی و زیست‌محیطی بخصوص بر میزان سلامتی ساکنان حاشیه دریاچه تأثیر مستقیمی خواهد گذاشت و دهها هزار کیلومترمربع را تحت تأثیر خود قرار داده و با عنایت به ارزش‌های با غی - زراعی منطقه و جمعیتی از سویی و از سوی دیگر هم‌جواری با کشورهای دیگر خالی شدن منطقه از سکنه به دلیل معضلات زیست‌محیطی خطیر جبران‌ناپذیر را در پی خواهد داشت. با توجه به دلایل ذکر شده حاشیه شرق دریاچه ارومیه به عنوان محدوده مطالعاتی انتخاب گردید بنابراین در شرایط حاضر، پایش و ارزیابی چنین مناطقی می‌تواند به عنوان یک امر مهم در توسعه ملی و مدیریت منابع طبیعی تلقی شود (۱۲). احمدیان و همکاران (۱) در بررسی تغییرات شوری خاک به کمک پردازش رقومی اطلاعات ماهواره لندست در دشت قهاروند (استان همدان)، با تفکیک سطوح مختلف خاک‌های شور به وسیله دوسری اطلاعات داده‌های رقومی

با توجه به تغییرات روزافزون کاربری اراضی و ضرورت آگاهی مدیران و کارشناسان از چگونگی تغییر و تحولات رخداده، آگاهی از نوع و درصد کاربری و پوشش‌های مختلف، نیازی بنیادی جهت شناخت، مدیریت، سیاست‌گذاری و چاره‌اندیشی برای رفع مشکل موجود در منطقه است (۱۰). نقصان خاک یک مسئله اساسی زیست‌محیطی است که بر جنبه‌های حیاتی زیست‌محیطی از جمله امنیت غذایی، کاهش تولید، حفظ منابع طبیعی، از بین رفتان تنوع زیستی و تغییرات اقلیمی جهانی تأثیر می‌گذارد. خاک یکی از مهم‌ترین و بالارزش‌ترین منابع طبیعی تجدیدشونده است که زیربنای تمدن بشری به شمار می‌آید. خاک به عنوان بستر حیات از اهمیت ویژه‌ای برخوردار است. ویژگی‌های فیزیکی و شیمیایی خاک نشان‌دهنده توان تولید اراضی است؛ که با مدیریت و کاربری ناصحیح اراضی، به راحتی مستعد تخریب می‌گردد. خاک به عنوان یک منبع ارزشمند بستر کشت محصولات کشاورزی و تولید مواد غذایی را فراهم نموده است. این پتانسیل تولید با تخریب اراضی به شدت کاهش می‌یابد (۷ و ۳۱). از طرفی اراضی حاصلخیز محدود بوده که تنها ۱۱ درصد از کل خشکی‌های زمین را شامل می‌شود و باقیستی نیاز غذایی شش میلیارد انسانی را که با نرخ رشد متوسط ۱/۳ درصد در سال در حال افزایش است، تأمین کند. ازین‌رو گسترش تخریب این منبع محدود می‌تواند امنیت غذایی جهان را شدیداً در معرض خطر قرار دهد و تهدیدی برای کیفیت محیط باشد. در این راستا نقصان خاک در ارتباط با عوامل شوری خاک یک معضل جهانی بود است (۲۰). شوری یکی از عوامل مهم تخریب اراضی در مناطق خشک و نیمه‌خشک است که از طریق محدود کردن رشد گیاه باعث کاهش تولیدات کشاورزی می‌شود (۲، ۱۸ و ۱۹). نقشه‌برداری شوری خاک جهت مدیریت بهتر و جلوگیری از شور شدن خاک ضروری است. شناسایی اولیه شوری در مبارزه با این چالش بسیار مهم است. بنابراین شناسایی و پایش مناطق شور برای کنترل رفتار تخریب زمین و مدیریت پایدار آن به ویژه در نواحی

در صد به دست آوردن. میلوسکی و همکاران (۲۶) با استفاده از ترکیب تصاویر لندست و تصاویر ابر طیفی هایپریون، توزیع مکانی و تغییرات مواد معدنی تبخیری و کفه های نمکی مناطق نیمه خشک را در ارتباط با پدیده سیلاب بررسی نمودند. نتایج بدست آمده نشان دادند که کفه های نمکی یک لندروم بسیار پویا و ناهمگن است. میزان تغییرات در مرز کفه های نمکی پایدار بوده و به سمت مرکز کفه ها افزایش می یابد.

در پژوهش حاضر سعی شده است تا با استفاده از فن آوری سنجش از دور و پردازش شیء گرای تصاویر ماهواره ای، پایش شوری خاک به منظور مدیریت ویژه اراضی کشاورزی در حاشیه شرقی دریاچه ارومیه مورد تجزیه و تحلیل قرار گیرد. با توجه به روند روبه افزایش تخریب منابع طبیعی، ضروری است زمان و هزینه بر روی گزینه هایی که در یک موقعیت معین بهترین هستند، صرف گردد. در این پژوهش سعی شده است از قابلیت تصاویر ماهواره ای لندست و همچنین روش نوین پردازش شیء گرا در جهت پایش روند شور شدن خاک های حاشیه شرقی دریاچه استفاده گردد.

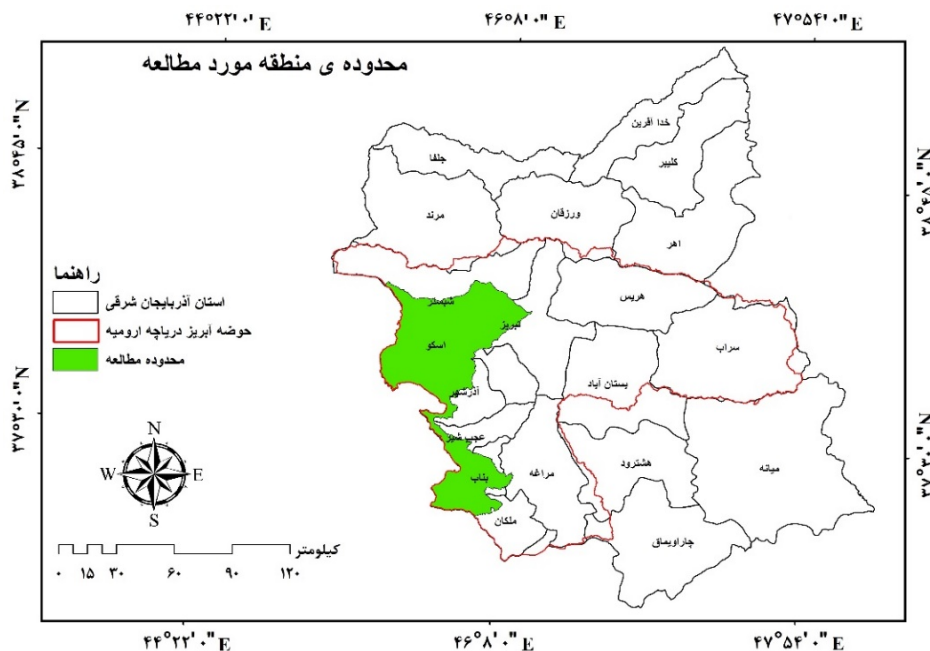
## مواد و روش ها

### منطقه مورد مطالعه

منطقه مورد مطالعه بخشی از مناطق شرق حوضه آبریز دریاچه ارومیه است؛ که در محدوده  $37^{\circ} 37' \text{ تا } 38^{\circ} 11'$  و  $40^{\circ} 09' \text{ تا } 41^{\circ} 17'$  عرض شمالی و  $45^{\circ} 46' \text{ تا } 47^{\circ} 17'$  طول شرقی در شمال غرب ایران واقع گردیده است. مساحت محدوده مورد مطالعه است. حداقل ارتفاع منطقه  $2141$  و حداقل آن  $1124$  متر از سطح دریا است. منطقه مورد مطالعه شامل دشت های تبریز، شبستر، اسکو، آذرشهر، عجب شیر و بناب، ملکان و قسمتی از مراغه است (شکل ۱).

ماهواره لندست ۵ و ۷ همراه با مطالعات زمینی به کمک بررسی باندهای مختلف سنجندهای TM و ETM<sup>+</sup> و بررسی شاخص های مختلف برای خاک و پوشش گیاهی با استفاده از طبقه بندی نظارت شده، نشان دادند که وسعت خاک های شور در طی ۱۱ سال افزایش قابل توجه داشته است. خنامانی و همکاران (۵) به ارزیابی وضعیت خاک با استفاده از فن سنجش از دور در دشت سگزی اصفهان پرداختند، نتایج این تحقیق نشان داد که نقشه حاصل از تصویر ماهواره ای از دقت بیشتری برای تهیه نقشه شاخص خاک برخوردار است. فتاحی (۸) با استفاده از فن سنجش از دور به ارزیابی و طبقه بندی شوری هایی با استفاده از روش UNEP-FAO در حوضه آبخیز قمرود پرداخت.

نتایج وجود همبستگی بسیار بالا بین خصوصیات خاک شامل هدایت الکتریکی و نسبت جذب سدیم با ارزش های طیفی این باند ترکیبی (به ترتیب  $885/0$  و  $857/0$ ) را نشان داد که به صورت یک مدل رگرسیونی برای تهیه نقشه شوری خاک ارائه شد. خادمی و همکاران (۴) با استفاده از تصاویر ماهواره لندست و به کمک علم سنجش از دور و GIS، شوره زارهای اطراف دریاچه ارومیه را در یک دوره ۱۳ ساله مطالعه و تغییرات مساحت شوره زارها و اثرات زیست محیطی آن را بررسی کردند و نشان دادند که افزایش اراضی شور روند بسیار سریع افزایشی دارد. اسکادیر و همکاران (۲۹) شوری خاک را در غرب دره سان جون (San Joaquin Valley) ایالت کالیفرنیای آمریکا، با استفاده از تصاویر ماهواره لندست در یک دوره هفت ساله (۲۰۱۳-۲۰۰۷) ارزیابی کردند نتایج به دست آمده نشان دادند که مجموعه داده های واقعی زمین، همبستگی بالای با بازتاب طیفی ثبت شده تصاویر لندست ۷ دارند. پی و همکاران (۲۷) با استفاده از تصاویر ماهواره لندست و با رویکرد پردازش شیء گرای تصاویر ماهواره ای در یک دوره ۲۴ ساله از سال ۱۳۸۹ تا ۲۰۱۳، معدن زغال سنگ پانخیا در شرق چین را مطالعه نمودند و پوشش زمین را با دقت کلی بین ۸۰ تا ۹۴



شکل ۱. موقعیت جغرافیایی منطقه مورد مطالعه در استان آذربایجان شرقی

### سگمنت‌سازی تصاویر

در روش‌های سنتی پیکسل پایه، طبقه‌بندی بر اساس تجزیه و تحلیل پیکسل‌ها به جای اشیاء تصویر صورت می‌گیرد. طبقه‌بندی پیکسلی تصاویر با قدرت تفکیک بالا، مشکل پیکسل‌های مخلوط را کاهش می‌دهد اما منجر به افزایش تغییرات داخلی و نویز داخل کلاس‌های کاربری اراضی می‌شود (۳۳ و ۲۸).

اولین گام در طبقه‌بندی شیء‌گرا در eCognition، فرآیند قطعه‌بندی اشیاء تصویر است. الگوریتم قطعه‌بندی، تصویر را بر اساس ویژگی‌های طیفی و مکانی به اشیاء تصویر قطعه‌بندی می‌کند (۲۳). قطعه‌بندی یک تصویر به اشکال هندسی اولیه اشیاء تصویر که متشکل از چندین پیکسل هستند، اساس طبقه‌بندی شیء‌گرا را تشکیل می‌دهد. این اشیاء تصویر علاوه بر اطلاعات طیفی، اطلاعات مربوط به شکل اشیاء، ویژگی‌های بافتی و ویژگی‌های آماری پیکسل‌ها و همچنین روابط بین اشیاء و لایه‌های موضوعی را دارا هستند (۱۳ و ۲۳).

### روش بهینه‌سازی مقیاس سگمنت‌سازی

ابزار ESP اجازه پیش‌بینی سریع پارامتر مقیاس برای

### روش تحقیق

در این مطالعه از دو نوع داده شامل تصاویر ماهواره‌ای و داده‌های بدست آمده از GPS در طی عملیات میدانی استفاده گردید. تصاویر ماهواره‌ای مورد استفاده شامل تصاویر ماهواره‌ای لندهای TM لندهای ۵، ۷، و سنجنهای OLI مربوط به لندهای ۸، بین سال‌های ۲۰۰۰–۲۰۱۵ با ردیف و گذر ۳۴–۱۶۸ مربوط به ماه‌های جولای و آگوست است. با توجه به هدف مطالعه، ابتدا مراحل پیش‌پردازش تصاویر در محیط نرم‌افزاری ENVI<sup>®</sup> 5.1 صورت گرفت و پس از این اعمال، تصاویر و لایه‌های اطلاعاتی GIS شامل (اطلاعات توپوگرافی حاصل از DEM ۳۰ متری منطقه، کلاس‌بندی خاک و شاخص پوشش گیاهی NDVI) به منظور طبقه‌بندی دانش پایه و اعمال الگوریتم‌های مختلف وارد محیط نرم‌افزار eCognition شد، که این پردازش‌ها شامل الگوریتم‌هایی (SI، Brightness، NDVI، NDSI) و نسبت‌های باندی مختلف (برای شناسایی خصوصیات شوری خاک‌ها و انتخاب مناسب‌ترین شاخص برای منطقه مورد مطالعه است. در مرحله پس‌پردازش، روند تغییرات شوری خاک مورد ارزیابی قرار گرفته و تحلیل نتایج صورت پذیرفت.

محتوای یک شیء می‌تواند در طبقه‌بندی استفاده شود. eCognition از روش طبقه‌بندی فازی استفاده می‌کند. طبقه‌بندی فازی به هر کدام از واحدهای طبقه‌بندی ارزش درجه عضویت بین ۰ تا ۱ را می‌دهد. توابع عضویت درجه عضویت یک شیء به یک کلاس را تعیین می‌کند. اشیاء می‌توانند در بیش از یک کلاس عضویت داشته باشند (۱۶). طبقه‌بندی فازی تکنیکی است که ارزش عوارض را به ارزش فازی (بین صفر و یک) با درجه عضویت معین برای هر طبقه تبدیل می‌کند. تبدیل ارزش عوارض به ارزش فازی اجازه همگون‌سازی و ترکیب عوارض در دامنه‌های متفاوت را فراهم می‌آورد. طبقه‌بندی فازی حتی انطباق و وفق‌پذیری توصیفات عوارض را فراهم می‌آورد. در eCognition توصیف‌های کلاس هر کلاس مشکل از مجموعه‌ای از حالت‌های فازی است که ویژگی خاص از اشیاء رو بیان می‌کند. این حالت‌ها می‌توانند تابع عضویت، شباهت به کلاس یا یک ارزش نزدیک‌ترین همسایه باشد؛ بنابراین به عنوان مثال ممکن است یک پدیده با درجه عضویت ۰/۸ به جنگل و ۰/۳ به آب تعلق داشته باشد. در eCognition هر طبقه دارای توصیفات خاص خود بوده و توصیفات هر طبقه مشتمل بر مجموعه‌ای از شرایط است که بر اساس عملگرهای فازی تعیین می‌شود. این شرایط برای هر طبقه به صورت جداگانه تعریف می‌شود که در طبقه‌بندی شیء‌گرای تصاویر در محیط نرم‌افزار eCognition از اهمیت بالایی برخوردار بوده و مبنای طبقه‌بندی فازی را تشکیل می‌دهد. طبقه‌بندی فازی متناسب با شرایطی است که مفسر برای هر کلاس تعیین می‌کند. این شرایط به وسیله توابعی که برای کلاس‌ها بیان می‌گردد، تعریف می‌شود که می‌تواند بصورت تابع عضویت، شبیه‌سازی کلاس‌ها یا نزدیک‌ترین همسایه باشد. در eCognition تعریف شرایط مناسب برای هر کلاس، مبنای طبقه‌بندی فازی را تشکیل می‌دهد. با تعیین ویژگی‌های مربوط به اطلاعات طیفی و ویژگی‌های هندسی، کلاس‌های کاربری اراضی در طی فرآیند پردازش تصویر، می‌توان از عملگرهای منطق فازی استفاده نموده و شرایط مناسب برای طبقه‌بندی را تعریف نمود. در تعریف شرایط

eCognition سگمنت‌سازی چندتفکیکی را در محیط نرم‌افزار می‌دهد. این ابزار به صورت خودکار داده‌های تعریف شده توسط کاربر را با یک مقدار ثابت افزایش پارامتر مقیاس، قطعه‌بندی می‌کند و واریانس محلی را به صورت میانگین انحراف معیار اشیاء هر سطح به دست آمده از فرآیند سگمنت‌سازی محاسبه می‌نماید. گرافیک (واریانس محلی) LV برای ارزیابی پارامترهای مقیاس مناسب، مربوط به ویژگی داده هر شیء استفاده می‌شود. ارزیابی پویایی واریانس محلی از یک سطح شیء به سطح دیگر، با استفاده از نرخ تغییر (ROC) انجام شد.

$$ROC = \left[ \frac{L - (L-1)}{L-1} \right] \times 100 \quad [1]$$

در این رابطه؛ L واریانس محلی سطح هدف و L-1 سطح پایین‌تر بعدی است. نرخ تغییر یک شاخص فنی بوده که برای تجزیه و تحلیل واریانس و محلی و مشخص نمودن تغییرات آن از یک سطح سگمنت به سطح دیگر را مشخص می‌کند. فرض ما این است که نقطه پیک نمودار ROC-LV نشانگر سطوح اشیا تصویر است که می‌تواند در مناسب‌ترین حالت سگمنت‌سازی شود. در این نقطه پیک، سگمنت‌ها مطابق با انواع اشیاء با درجه مساوی از همگنی است (۲۴ و ۲۵).

### طبقه‌بندی فازی بر اساس تکنیک‌های شیء‌گرای مترينج (۲۵)

برخی از تکنیک‌های طبقه‌بندی تصویر برای شناسایی شوری را ارزیابی کردند. طبقه‌بندی فازی با توجه به نظریه مجموعه فازی می‌تواند مناطق انتقال تدریجی بین خاک‌های شور و غیر شور را تشخیص داده و به عنوان یک طبقه‌بندی دقت بالا برای مناطق شور مورد استفاده قرار گیرد. منطق فازی می‌تواند یک روش خوب برای طبقه‌بندی و نظارت بر شرایط زیست‌محیطی مربوط به شوری و همچنین روش خوب برای توصیف ماهیت و شدت تغییرات شوری در طول زمان باشد. در eCognition طبقه‌بندی مبتنی بر دانش فازی که شامل اطلاعات طیفی، شکل، همسایگی و سایر اطلاعات مربوط به کلاس‌بندی است، می‌تواند انجام شود (۲۳)؛ بنابراین

ارزیابی ارزش‌های آنها، در محدوده ۰ تا ۱ ممکن می‌سازد. تعریف اطلاعات و شرایط برای کلاس‌ها، به صورت توابع عضویت و یا نزدیک‌ترین همسایه صورت می‌گیرد. به طوری که تمام پدیده‌های مستقر در فضای عوارض نمونه‌ها، از درجه عضویت بالایی برای آن کلاس‌ها برخوردار هستند.

طبقه‌بندی مفسر می‌تواند از پارامترهای طیفی و بصری (شامل بافت، شکل و تن رنگ) استفاده نموده و با تعریف یکی یا مجموعه‌های از این عوامل و همچنین تعیین نسبت اهمیت هر یک از این عوامل در فرآیند طبقه‌بندی کلاس‌ها را تعریف نماید (۶).

### تابع تابع

**انتخاب مقیاس بهینه جهت انجام پردازش شیء‌گرا**  
برای پیدا کردن عینی مقیاس‌های متعدد بهینه و بهبود کیفیت سگمنت‌سازی، دقت کلاس‌بندی در ضرایب مختلف شکل و فشردگی تطبیق شکل ۲ و جدول ۱ تعیین گردید. سپس با استفاده از الگوریتم پیش‌بینی مقیاس بهینه (ESP: Estimation of Scale Parameter) مقیاس مناسب جهت استخراج عارضه‌های مورد نظر پیش‌بینی شد. شکل ۳ نتیجه حاصل از پیش‌بینی مقیاس مناسب جهت استخراج عارضه‌های مورد نظر را نشان می‌دهد.

### تابع عضویت

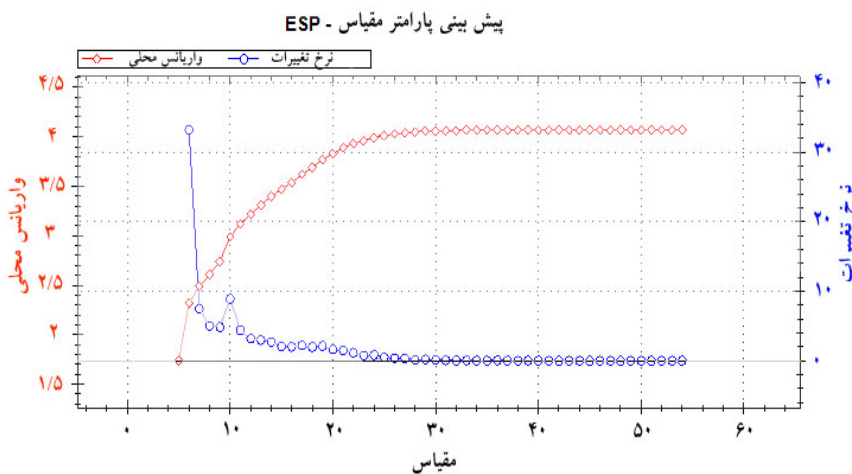
تابع درجه عضویت را در تئوری مجموعه فازی تابع عضویت می‌نامند. در تکنیک تابع عضویت، پدیده‌های اولیه ایجاد شده در مرحله سگمنت‌سازی، علاوه بر خصوصیات طیفی از خصوصیات دیگری نظیر اندازه، شکل، مساحت و محیط می‌تواند برخوردار شود، که در این صورت کاربر باید نسبت به این اطلاعات، که باعث تفکیک بهتر پدیده‌ها از یکدیگر و انتساب پدیده‌های تصویر به کلاس‌های مورد نظر می‌شود، آگاهی کافی داشته باشد. در eCognition هر کلاس دارای توصیفات خاص خود، به صورت مجموعه‌ای از توابع فازی بوده که امکان ارزیابی پدیده‌های مشخص را از طریق



شکل ۲. رابطه بین مقیاس سگمنت‌سازی با تعداد اشیاء تولید شده و میزان دقت کلاس‌بندی

جدول ۱. رابطه بین مقیاس سگمنت‌سازی با تعداد اشیاء تولید شده و میزان دقت کلاس‌بندی

شکل	فشردگی	تعداد اشیاء تصویر	ضریب کاپا	دقت کلاس‌بندی
۰/۱	۰/۹	۸۳۷۶۱	۰/۹۱۵	۰/۹۲۵
۰/۲	۰/۸	۸۷۸۳۷	۰/۹۱	۰/۹۲۸
۰/۳	۰/۷	۹۱۸۶۱	۰/۸۸۴۵	۰/۹۱۳
۰/۴	۰/۶	۹۴۲۶۹	۰/۸۷۱۹	۰/۸۹
۰/۵	۰/۵	۹۵۲۹۹	۰/۸۵۰۳	۰/۸۸۷
۰/۶	۰/۴	۹۵۳۹۸	۰/۸۵۷۵	۰/۸۷۸۵
۰/۷	۰/۳	۹۴۷۴۱	۰/۸۴۳۴	۰/۸۶۵۴
۰/۸	۰/۲	۹۳۳۸۳	۰/۸۲۵۷	۰/۸۳۴۴
۰/۹	۰/۱	۹۲۲۱۹	۰/۷۹۸۵	۰/۸۱۲۴



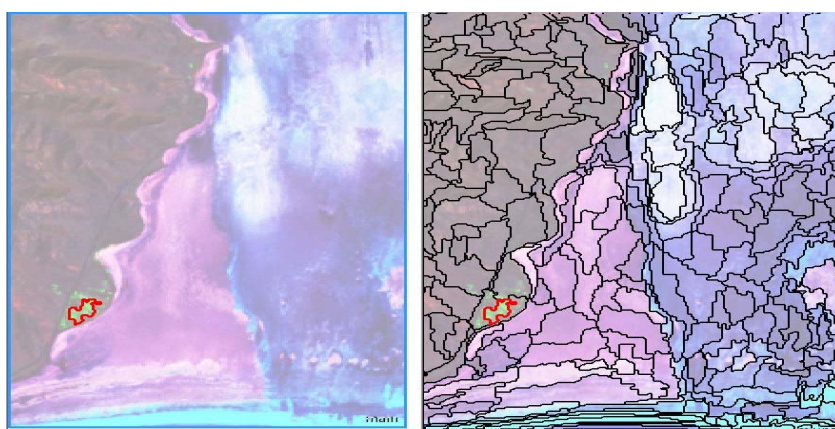
شکل ۳. مقیاس بهینه پیش‌بینی شده با استفاده از الگوریتم (ESP)

- با پیش‌بینی مقیاس مناسب جهت ایجاد واحدهای تصویر با استفاده از الگوریتم (ESP)، مقیاس ۱۰ با ضرایب شکل و فشردگی به ترتیب ۰/۲ و ۰/۵ به عنوان مقیاس مناسب جهت استخراج عارضه‌های تصویر انتخاب شد (شکل ۳). در این تحقیق برای تشخیص مناسب‌ترین محدوده پارامتر مقیاس که در آن تقسیم‌بندی تصویر انجام می‌گیرد از مفهوم واریانس محلی و از یک ابزار خودکار در محیط نرم‌افزار eCognition استفاده گردید. همچنین پیش‌بینی پارامتر مقیاس (ESP) برای تعریف پارامترهای مقیاس سگمنت‌سازی معنادار روی تصاویر انجام شد. در حالی که منحنی واریانس محلی بطور ناگهانی با افزایش اندازه سگمنت در مقیاس‌های پایین افزایش می‌یابد

برای تعیین مقیاس بهینه سگمنت‌سازی ابتدا تصویر منطقه را در ضرایب شکل و فشردگی متفاوت طبقه‌بندی نموده و سپس اقدام به برآورد دقت کلی نتایج بدست آمده و محاسبه ضریب کاپا شد. نتایج تحقیق نشان داد که با افزایش پارامتر ضریب شکل و کاهش ضریب فشردگی، تعداد سگمنت‌های تولید شده در واحد تصویر بیشتر شده و پیرو آن میزان دقت نتایج نیز کم می‌شوند زیرا با افزایش ضریب شکل، اشیاء تصویری که تولید می‌شوند دقیقاً مطابق با عارضه‌های رو تصویر تشکیل نمی‌شوند و در کلاس‌بندی علاوه بر اشیاء هدف، اشیاء دیگر یا در مجاورت اشیاء هدف نیز به صورت نادرست در کلاس مورد نظر ما قرار می‌گیرند (شکل ۲؛ جدول

نمودار LV بسیار صاف و نرم هست. از لحاظ تئوری، قله در یک منحنی LV-ROC نشان می دهد که در آن سطح، منحنی LV بخش مطابق با معادل خود در جهان واقعی خود افزایش می یابد. با این حال، تنوع ناشی از تقسیم‌بندی پس‌زمینه نیز در منحنی تولید نقطه پیک می‌کند و در نتیجه پیچیدگی تفسیر نمودارها، متناسب با پیچیدگی صحنه است. شکل ۴ قطعه‌بندی تصویر با مقیاس ۱۰ (ضریب شکل ۰/۲ و ضریب فشردگی ۰/۵) را نشان می‌دهد.

منحنی نرخ تغییرات واریانس محلی در روندی مخالف کاهش می‌یابد. این الگو مرحله تغییر از پیکسل‌ها به کوچک‌ترین اشیاء تصویر مورد نظر را نشان می‌دهد. نمودار نشان می‌دهد که LV به تنها یی نمی‌تواند مقیاس معنی‌دار اشیاء تصویر را نشان دهد. به خاطر تفاوت‌های بزرگ در مقادیر ROC-LV در مقیاس‌های کوچک‌تر، تغییرات در منحنی ROC-LV در مقیاس‌های بزرگ‌تر پنهان هستند. نمودار ROC-LV دارای نوسانات ناگهانی بیشتری بین نقطه ماکسیمم و مینیمم بوده در حالی که



شکل ۴. قطعه‌بندی تصویر با مقیاس ۱۰ (ضریب شکل ۰/۲ و ضریب فشردگی ۰/۵)

اشیاء تصویر تولید شده کم می‌شود و دقت کلاس‌بندی افزایش می‌یابد. با مقایسه دقت کلاس‌بندی حاصل شده در ضرایب (شکل و رنگ) در مقیاس‌های مختلف مشخص گردید که مقیاس ۱۰ با ضریب شکل ۰/۲ و فشردگی ۰/۵ بیشترین دقت (۰/۹۲) را دارد.

نتایج نشان می‌دهد که در مقیاس ۱۰ با ضریب شکل ۰/۱ و ضریب فشردگی ۰/۹ تعداد ۸۳۷۶۱ شیء تصویر تولید می‌شود که این مقدار با افزایش همگنی تصویر (کاهش تأثیر شکل و افزایش تأثیر رنگ) به شدت افزایش می‌یابد بطوریکه در همین مقیاس (مقیاس ۱۰) با ضریب شکل ۰/۹ و فشردگی ۱/۰، میزان اشیاء تولید شده به بالای ۹۰۰۰۰ شیء می‌رسد. اما در نقطه مقابل ملاحظه می‌شود که در ضرایب (شکل ۰/۱ و فشردگی ۰/۹) دقت بالای ۰/۹۲ درصد حاصل شده است و این بدین دلیل است که با کاهش وزن ضریب شکل، تأثیر همگنی تصویر در روند سگمنت‌سازی افزایش می‌یابد و این امر سبب افزایش دقت کلاس‌بندی می‌شود بطوری که در ضرایب بالاتر (ضریب شکل ۰/۹ و فشردگی ۰/۱) میزان دقت حاصل شده به کمتر از ۷۸ درصد می‌رسد. این امر در واقع یک روند کلی است که هرچقدر ضریب شکل کاهش می‌یابد همگنی تصویر بیشتر در امر سگمنت‌سازی مدنظر بوده و تعداد

**استفاده از الگوریتم‌های شیء‌پایه**  
از توابع اطلاعاتی بافتی (GLCM)، میانگین باندهای تصویر، اطلاعات هندسی (شکل، فشردگی و عدم تقارن)، شاخص پوشش گیاهی (NDVI)، شاخص‌های شوری SI، NDSI، فام رنگ، سیری و شدت رنگ... و قابلیت‌های متنوع تکنیک‌های OBIA جهت استخراج پوشش اراضی با دقت بالا استفاده شده است. شاخص‌های شوری SI و NDSI از رابطه‌های زیر محاسبه گردید.

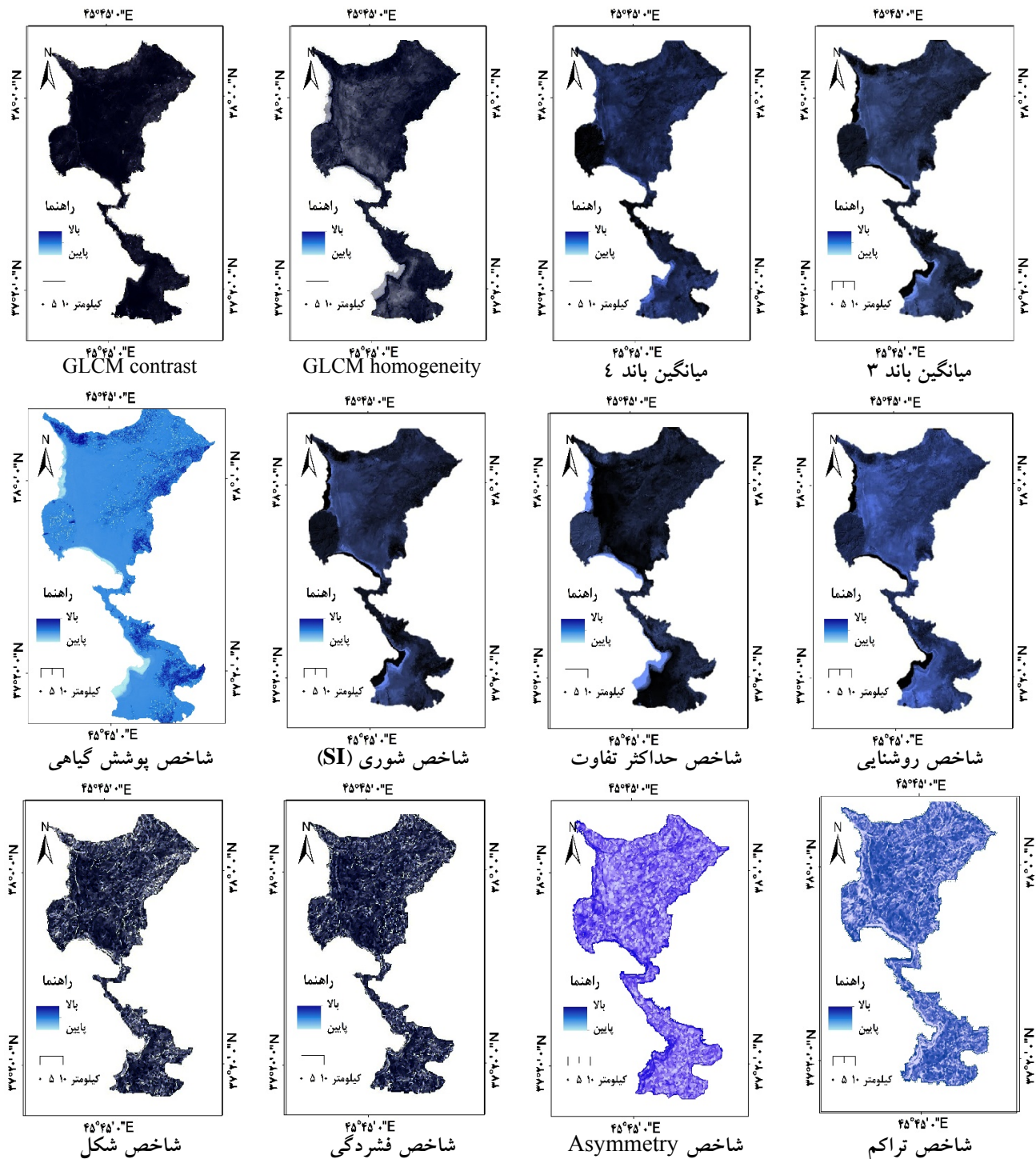
در این رابطه؛ Blue (باند آبی)، Red (باند قرمز) و NIR (باند قرمز) و مادون قرمز نزدیک) بترتیب باندهای ۱، ۳ و باند ۴ تصویر لندست می‌باشند. نتایج حاصل از اعمال این توابع در شکل ۵ آورده شده است.

[۲]

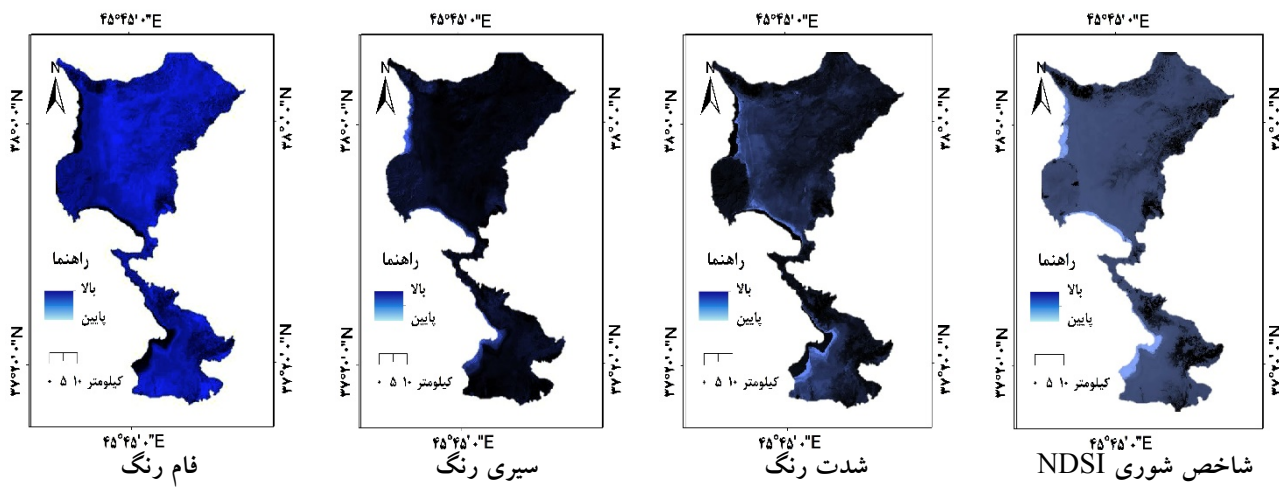
$$NDSI = ([\text{Mean red}] - [\text{Mean NIR}]) / ([\text{Mean Red}] + [\text{Mean NIR}])$$

$$\text{Salinity Index (SI)} = \sqrt{\text{Blue} \times \text{Red}}$$

[۳]



شکل ۵. استفاده از الگوریتم‌های شیء‌گرا



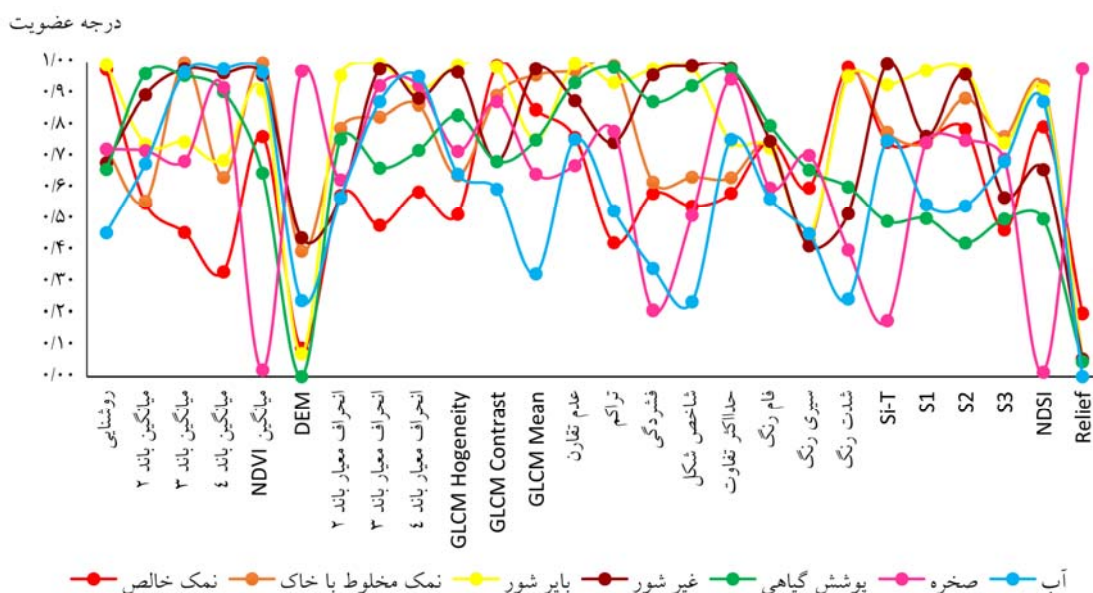
ادامه شکل ۵. استفاده از الگوریتم های شبیه گرا

نژدیکترین همسایه انتخاب گشته و سپس وزن‌های درجه عضویت بر اساس توابع فازی محاسبه شده و برای کلاس‌های موردنظر تعریف شدند.

در این تحقیق این طبقه‌بندی با استفاده از الگوریتم کلاس‌بندی سلسله مراتبی (Hierarchical Classification) اجرا شد که نتیجه از اجرای این تکییک در شکل ۶ نشان داده شده است.

## طبقه‌بندی به روش فازی شیء‌گرا

در طبقه‌بندی فازی هر کلاس به صورت مجموعه‌ای از توابع فازی مطرح گشته که امکان بررسی پدیده‌های مشخص را از طریق ارزیابی ارزش‌های آن‌ها، در محدوده ۰ تا ۱ ممکن می‌سازد. تعریف اطلاعات و شرایط برای کلاس‌ها، به صورت توابع عضویت صورت می‌گیرد، به‌طوری که پدیده‌های مستقر در فضای نمونه‌ها، از درجه عضویت بالایی برای آن کلاس‌ها برخوردار هستند. در این تحقیق نمونه‌ها مشابه روش



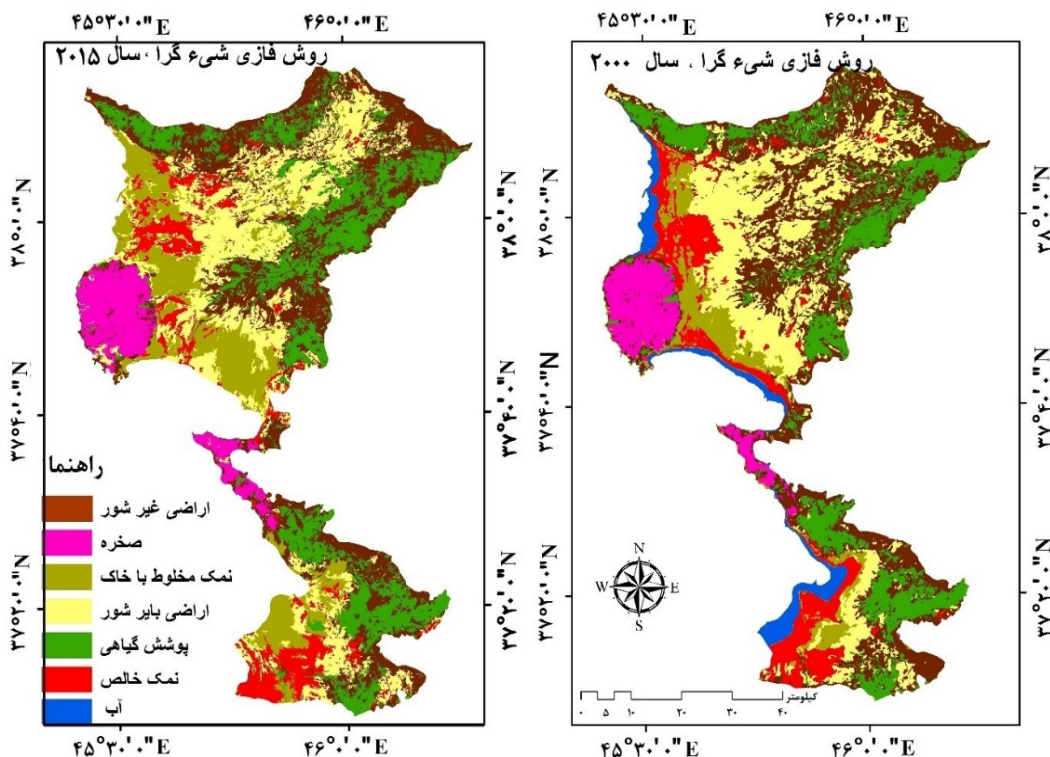
شکل ۶. درجه عضویت الگوریتم‌های مؤثر در طبقه‌بندی هر کلاس

قرار گرفتند این توابع بصورت جدول ۲ می‌باشد نتایج حاصل از اعمال روش فازی شیء‌گرا در شکل ۷ ارائه شده است.

بعد از محاسبه درجه‌های عضویت، توابع مختلف (توابع که دارای بیشترین درجه عضویت بودند) جهت استخراج هر کدام از کاربری‌ها بصورت روش فازی شیء‌گرا مورد استفاده

جدول ۲. معیارها و آستانه‌های استفاده شده در طبقه‌بندی فازی شیء‌گرا

معیار و آستانه	عملگر	کلاس
Brightness <= 75 & NDSI <= 0.06 GLCM Homogeneity (quick 8/11) (all dir.) <= 0.34 GLCM Contrast (quick 8/11) (all dir.) >= 7 & Compactness > 0.3 Brightness >= 122 & Assymetry > HSI Transformation Intensity >= 0.3 Mean DEM >= 10 & Slope >= 5	And (*) mean geom)	اراضی غیرشور
Brightness >= 100 & GLCM homogeneity (quick 8/11) (all dir.) <= 4 NDVI <= 0.03 & 88.2 < Mean Red < 161 & density > 1.7	And ( min)	نمک خالص
Salinity index (Si) >= 0.262 & NDSI >= 0.2 & Max. diff. >= 0.4 Mean NDVI >= 0.1	mean geom) And ( min)	صخره
NDSI >= 0.21 & Mean NDVI <= 0 & 0 < Mean NIR < 36	And ( min)	اراضی باير شور
		نمک مخلوط با خاک
		پوشش گیاهی
		آب



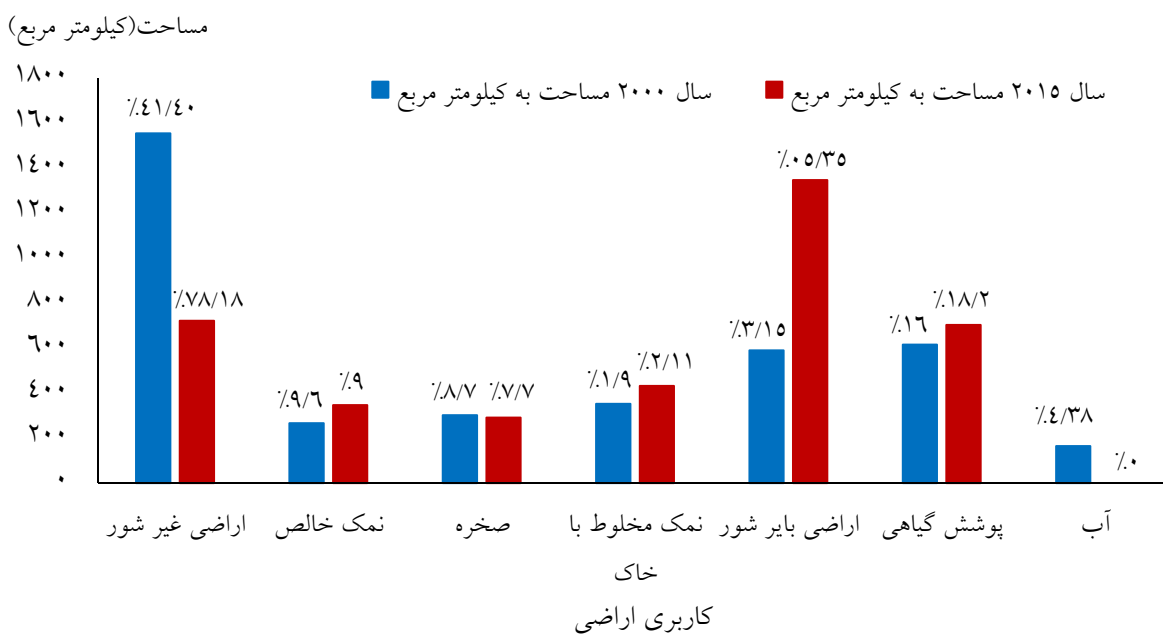
شکل ۷. نتایج طبقه‌بندی به روشن فازی شیء‌گرا

درصد به ۳۵/۰۵ درصد معادل ۷۵۷/۱۲ کیلومترمربع افزایش یافته است و همینطور پوشش گیاهی نیز رشد ۲/۲۹ داشته و از ۱۶ درصد به ۱۸/۲ درصد معادل ۸۸ کیلومترمربع افزایش داشته است (جدول ۳ و شکل ۸).

نتایج حاصله از این پژوهش نشان داد که در طول ۱۶ سال، اراضی غیرشور ۲۱/۶۳ درصد با شب منفی کاهش داشته و از ۴۰/۴۱ درصد به ۱۸/۸۷ درصد معادل ۸۳۳/۱۸ کیلومترمربع رسیده است و در مقابل اراضی بایر شور با شب مثبت، به میزان ۱۹/۷ درصد رشد مثبت داشته است و از ۱۵/۳ مثبت، به میزان ۱۹/۷ درصد رشد مثبت داشته است و از ۱۵/۳

جدول ۳. تغییرات پوشش اراضی در بازه ۲۰۰۰-۲۰۱۵ به روشن فازی

تغییرات	سال ۲۰۱۵		سال ۲۰۰۰		روشن فازی
	درصد	مساحت به کیلومترمربع	درصد	مساحت به کیلومترمربع	
-۲۱/۶۳	۱۸/۷۸	۷۲۲/۱۳	۴۰/۴۱	۱۵۵۵/۳۱	اراضی غیرشور
+۲/۱	۹/۰۳	۳۴۷/۳۷	۷/۹۲	۲۶۶/۷	نمک خالص
-۰/۲۶	۷/۵۸	۲۹۱/۶۷	۷/۸۴	۳۰۲/۰۳	صخره
+۲/۰۷	۱۱/۲۴	۴۳۲/۳۴	۹/۱۷	۳۵۲/۹۶	نمک مخلوط با خاک
+۱۹/۷	۳۵/۰۵	۱۳۴۷/۷۱	۱۵/۳۴	۵۹۰/۰۹	اراضی بایر شور
+۲/۲۹	۱۸/۲۹	۷۰۳/۵۸	۱۶	۶۱۵/۹۹	پوشش گیاهی
-۴/۲۸	۰	۰	۴/۲۸	۱۶۵/۰۲	آب
-	۱۰۰	۳۸۴۵/۶۳	۱۰۰	۳۸۴۵/۶۳	مجموع



شکل ۸ نتایج تغییرات پوشش اراضی با روشن فازی

مربوط به دقت تولید کننده، دقت کاربر و ضریب کاپای هر کلاس نیز از محاسباتی است که با استخراج ماتریس خطای طبقه‌بندی حاصل می‌شود. نتایج ماتریس خطای طبقه‌بندی نشان می‌دهد که دقت کلی طبقه‌بندی معادل ۰/۹۳ و ضریب کاپای طبقه‌بندی نیز معادل ۰/۸۹ درصد برآورد شد. این دقت بالا بیشتر به این دلیل است که در این روش، علاوه بر استفاده از اطلاعات طیفی، از اطلاعات مربوط به محظوظ، شکل، بافت و تن نیز برای طبقه‌بندی استفاده می‌شود (جدول ۴). بنابراین با بهره‌گیری از اطلاعاتی غیر از ارزش‌های عددی در طبقه‌بندی تصاویر، موجبات افزایش دقت طبقه‌بندی می‌شود (۶).

### اعتبارسنجی نتایج

در این مرحله از پژوهش، برای کسب اطمینان از صحت طبقه‌بندی انجام شده اقدام به ارزیابی دقت طبقه‌بندی کرده و در طی عملیات میدانی به طور تصادفی نقاط کنترل با GPS از سطح منطقه برداشت شده و پارامترهای ارزیابی دقت طبقه‌بندی شامل ماتریس خطای دقت تولید کننده، دقت کاربر، ضرایب آماری کاپا و همچنین دقت کلی طبقه‌بندی استخراج شد. eCognition روش ارزیابی صحت با استفاده از ماتریس خطای بر اساس نقاط حقایق زمینی را ارائه می‌دهد. با تعریف نقاط حقایق زمینی این نرم‌افزار به طور خودکار ماتریس خطای را تولید می‌کند. علاوه بر ماتریس خطای طبقه‌بندی پارامترهای

جدول ۴. ماتریس خطای طبقه‌بندی

ماتریس خطای	پوشش گیاهی	اراضی بایر شور	نمک مخلوط با خاک	نمک خالص	اراضی غیرشور	مجموع	مجموع
پوشش گیاهی	۱۱۲۴۷	۰	۰	۰	۳۳۸	۱۱۵۸۵	۱۱۵۸۵
اراضی بایر شور	۰	۱۳۷۸۷	۴۸۷۴	۰	۱۴۶	۲۳۹	۱۹۱۴۶
نمک مخلوط با خاک	۰	۴۱۲	۱۷۶۹۳	۱۱۳۳	۰	۱۴۵۷	۲۰۶۹۵
صخره	۰	۰	۰	۱۱۲۶۳	۰	۰	۱۱۲۶۳
نمک خالص	۰	۰	۰	۰	۵۴۸۰	۰	۵۴۸۰
اراضی غیرشور	۰	۶۱۸	۰	۳۳۲	۰	۱۰۰۰۷	۱۶۵۰۷
مجموع	۱۱۲۴۷	۱۴۸۱۷	۲۲۵۶۷	۱۲۷۲۸	۵۶۲۶	۱۷۶۹۱	۱۷۶۹۱
دقت							
تولید کننده	۱	۰/۹۳	۰/۷۸	۰/۸۸	۰/۹۷	۰/۸۷	۰/۸۷
کاربر	۰/۹۷	۰/۸۷	۰/۹۵	۱	۰/۹۹	۰/۹	۰/۹
کاپا برای هر کلاس	۱	۰/۹۱	۰/۸۸	۰/۸۶	۰/۹۷	۰/۸۵	۰/۸۵
دقت کلی	۰/۹۳			ضریب کاپا			۰/۸۹

شده در اطراف دریاچه ارومیه ذرات نمکی قرار گرفته در معرض هوا می‌توانند توسط باد جا به جا شوند، بر روی اراضی حاصلخیز رسوب کرده و زمین‌های کشاورزی را از عرصه تولید خارج کند. همچنین جایه جایی این نمک‌ها توسط باد و رسوب آنها در آب‌های سطحی و نفوذ به آب‌های زیرزمینی منجر به شور شدن آب آبیاری می‌شود، شوری یکی از شدیدترین عوامل محدودکننده زیست محیطی بهره‌وری از محصولات کشاورزی است (۴). از دلایل بالا بودن میزان نمک

### بحث و نتیجه‌گیری

اکثریت شهرهای منطقه اطراف دریاچه در بخش شرقی آن قرار دارند و جهت باد در آن‌ها غربی یا جنوب غربی است و همواره در خطر جابجایی ذرات نمک قرار دارند و چون اکثریت مناطق حاشیه دریاچه در ارتفاعات زیر ۳۰ متر قرار دارند بر میزان خطرپذیری مناطق افروزه می‌گردد با گذر زمان و کاهش حجم آب دریاچه ارومیه با سرعت چشمگیری بر وسعت شوره زارها افزوده شده است. با شوره زارهای ایجاد

روی تصاویر با تن روش‌تری ظاهری می‌شوند و با تلفیق این شاخص به همراه سایر پارامترهای هندسی و بافتی کلاس‌های مذکور با دقت نسبتاً قابل قبولی قابل شناسایی و استخراج می‌باشد. احمدی (۳) با استفاده از تصاویر سنجنده OLI ماهواره لندست ۸ و شاخص‌های شوری، دلتای آجی چای را از نظر شوری پهنه‌بندی نمودند و نشان دادند که شاخص SIT بیشترین همبستگی را با داده‌های زمینی داشته و در استخراج نواحی شور مناسب می‌باشد. همچنین مقایسه نتایج این پژوهش با یافته‌های محققان، خادمی و همکاران (۴)، اخضری و اسدی (۲) و محرمی (۹)، نشان دهنده اهمیت و دقت بالای پردازش شیء‌گرا در بررسی و مطالعه شوری می‌باشد و بیانگر این واقعیت است که با تلفیق شاخص‌های شوری با روش فازی شیء‌گرا می‌توان منطقه را از لحاظ شوری با دقت و سرعت خوب پایش کرد. از طرفی یافته‌های این پژوهش با یافته‌های استالز (۳۰)، برتانی و همکاران (۱۵)، دقیق بودن تکنیک شیء‌گرا برای بررسی شوری را به اثبات می‌رساند؛ بنابراین نتایج بدست آمده نشان می‌دهند که در منطقه مورد مطالعه اراضی غیرشور با سرعت زیاد در حال تبدیل شدن به اراضی بایر شور بوده و در صورتیکه اقدامات پیشگیرانه مناسبی صورت نگیرد در سال‌های آتی شاهد بحران‌های زیست‌محیطی بیشتر در منطقه از جمله افزایش شورهزارها، دشت‌های نمکی، از بین رفتن کشاورزی در منطقه و مواردی از این قبیل خواهیم بود.

### منابع مورد استفاده

۱. احمدیان، م.، م. پاکپرور و د. عاشورلو. ۱۳۸۹. بررسی تغییرات شوری خاک به کمک پردازش رقومی اطلاعات ماهواره لندست در دشت قهاؤند (استان همدان). پژوهش‌های خاک (علوم خاک و آب)، ۲(۲): ۱۷۹-۱۹۱.
۲. اخضری، د. و ا. اسدی می‌آبادی. ۱۳۹۵. تهیه نقشه شوری خاک با استفاده از تحلیل طیفی داده‌های سنجنده OLI و داده‌های میدانی (مطالعه موردنی: جنوب دشت ملایر). سنجش از دور و سامانه اطلاعات جغرافیایی در منابع طبیعی، ۲(۷):

علاوه بر شرایط طبیعی اکوسیستم منطقه، کاربری نامناسب و روش‌های نامناسب آبیاری اراضی کشاورزی را می‌توان نام برد (۱۰). در پژوهش حاضر، ابتدا تصاویر منطقه مورد مطالعه در بازه زمانی ۱۶ سال بین ۲۰۰۰ تا ۲۰۱۵ میلادی تهیه گردید. لازم به یادآوری است که این تصاویر مربوط به ماهواره لندست سری ۵ و ۸ مربوط به سنجنده‌های TM و OLI با گذر و ردیف ۱۶۸ و گذر ۳۴ بوده و زمان تصویربرداری مربوط به ماههای جولای و آگوست می‌باشد که در آن میزان بارندگی‌ها حداقل بوده است. پس از آماده‌سازی این لایه‌ها در محیط نرم‌افزار ENVI، این لایه‌ها به همراه لایه‌های پوشش گیاهی NDVI و لایه رقومی ارتفاع (DEM) ۳۰ متر و لایه شبیه به محیط نرم‌افزار eCognition جهت تجزیه و تحلیل‌های RGB شیء‌گرایی وارد شدند. پس از ایجاد ترکیب رنگی FSR، جهت مشخص نمودن ضرایب مناسب شکل و فشردگی، یکی از تصاویر در ضرایب مختلف سگمنت‌سازی و طبقه‌بندی گردید و در گام بعد اقدام به بهینه‌سازی مقیاس گردید. بهینه‌سازی مقیاس با استفاده از الگوریتم ESP انجام گردید. مقیاس پیشنهادی توسط این الگوریتم، از روی گراف ROC-LV، مقیاس ۱۰ با ضرایب شکل ۰/۲ و فشردگی ۰/۵ به دست آمد. با توجه به اینکه لازمه پردازش به روش شیء‌گرا، تولید واحدهای پردازش (سگمنت‌ها) هستند، تصاویر با مقیاس پیشنهادی ESP سگمنت‌سازی شدند. در این پژوهش، روش طبقه‌بندی فازی شیء‌گرا جهت طبقه‌بندی تصاویر مورد نظر بکار برده شد. جهت اجرایی کردن روش‌های طبقه‌بندی، ۷ کلاس طبقه‌بندی از جمله؛ اراضی غیرشور، اراضی بایر شور، نمک خالص، نمک مخلوط با خاک، پوشش گیاهی، صخره و آب ایجاد شدند؛ و در گام بعدی توابع درجه عضویت برای هر کدام از کلاس‌های مورد نظر محاسبه و با استفاده از الگوریتم Classification طبقه‌بندی صورت پذیرفت. در این پژوهش همچنین مشخص گردید که معیار روشناگی همراه با بافت تصویر نقش بارزی در استخراج نواحی شورهزار بخصوص در استخراج کلاس اراضی بایر شور و نمک خالص دارد چرا که در نواحی شورهزار و نواحی دارای نمک خالص این نواحی بر

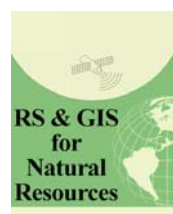
- پیش‌بینی روند تغییرات کاربری اراضی با استفاده از مدل زنجیره مارکوف و مدل‌ساز تغییر کاربری اراضی (مطالعه موردي: دشت بروش دهلران، ایلام). سنچش از دور و سامانه اطلاعات جغرافیایی در منابع طبیعی، ۷(۲): ۳۳-۴۶.
۱۲. نوری، غ. ر. و آقائی. ۱۳۹۱. ارزیابی خطرات زیست‌محیطی مناطق حاشیه دریاچه ارومیه ناشی از نوسانات مرز پیرامونی طی سال‌های ۱۹۸۵ تا ۲۰۱۰. مجله مخاطرات محیط طبیعی، ۱(۲): ۷۹-۹۴.
۱۳. Baatz M, Benz U, Dehgani S, Heynen M, Höltje A, Hofmann P, Lingenfelder I, Mimler M, Sohlbach M, Weber M & Willhauck G 2004. eCognition Professional User Guide 4. München: Definiens Imaging GmbH.
۱۴. Ben-Dor E. 2002. Quantitative remote sensing of soil properties. Advances in Agronomy, 75: 173-243.
۱۵. Bertani, T. C., Novack, T., Hayakawa, E. H., & Zani, H. (2010). Detection of Saline and Non-Saline Lakes on The Pantanal of Nhecolândia (Brazil) Using Object-Based Image Analysis. The International Archives of the Photogrammetry, Remote Sensing and Spatial Information Sciences, 38
۱۶. Campbell JB, Wynne RH. 2002. Introduction to Remote Sensing. 5<sup>th</sup> ed. London: Taylor and Francis Ltd. 667 pp.
۱۷. Dale P, Hulsman K, Chandica A. 1986. Classification of reflectance on colour infrared aerial photographs and sub-tropical salt-marsh vegetation types. International Journal of Remote Sensing, 7(12): 1783-1788.
۱۸. Dehaan R, Taylor G. 2002. Field-derived spectra of salinized soils and vegetation as indicators of irrigation-induced soil salinization. Remote Sensing of Environment, 80(3): 406-417.
۱۹. Dwivedi R, Sreenivas K, Ramana K. 1999. Inventory of salt-affected soils and waterlogged areas: a remote sensing approach. International Journal of Remote Sensing, 20(8): 1589-1599.
۲۰. Fan G, Qiang H, Xiaoyi S, Zhenglong Y. 2011. Study on dynamic changes of the soil salinization in the upper stream of the Tarim river based on RS and GIS. Procedia Environmental Sciences, 11: 1135-1141.
۲۱. Farifteh J, Farshad A, George R. 2006. Assessing salt-affected soils using remote sensing, solute modelling, and geophysics. Geoderma, 130(3): 191-206.
۲۲. Hall O, Hay GJ, Bouchard A, Marceau DJ. 2004. Detecting dominant landscape objects through multiple scales: An integration of object-specific methods and watershed segmentation. Landscape Ecology, 19(1): 59-76.
- .۱۰۰-۸۷. ۳. پیش‌نماز احمدی، م. ح. رضایی مقدم، و. ب. فیضی زاده.
- ۱۳۹۶ ۱۴. بررسی شاخص‌ها و تهیه نقشه شوری خاک با استفاده از داده‌های سنچش از دور (مطالعه موردي: دلتای آجی‌چای).
- ۱۳۹۶ ۱۵. سنچش از دور و سامانه اطلاعات جغرافیایی در منابع طبیعی، ۱(۱): ۹۶-۸۵.
- ۱۳۹۱ ۱۶. خادمی، ف. ح. پیرخراطی و س. شاه‌کرمی. مطالعه روند افزایش خاک‌های شور اطراف دریاچه ارومیه با استفاده از GIS و RS. علوم زمین، ۹۴(۲): ۹۳-۹۸.
- ۱۳۹۰ ۱۷. خنامانی، ع. ر. جعفری، ح. سنگونی و ع. شهبازی. ارزیابی وضعیت خاک با استفاده از فن آوری سنچش از دور و سیستم اطلاعات جغرافیایی (مطالعه موردي: دشت سگزی اصفهان). سنچش از دور و سامانه اطلاعات جغرافیایی در منابع طبیعی، ۲(۳): ۲۵-۳۷.
- ۱۳۸۹ ۱۸. رضایی مقدم، م. ح. رضایی بنفشه، ب. فیضی‌زاده و ح. نظم‌فر. ۱۳۸۹. طبقه‌بندی پوشش اراضی / کاربری اراضی بر اساس تکنیک شی‌گرا و تصاویر ماهواره‌ای، مطالعه موردي: استان آذربایجان غربی. پژوهش‌های آبخیزداری، ۲۳(۲): ۱۹-۳۲.
- ۱۳۸۶ ۱۹. سرمهیان، ف. ح. متین فر، س. ک. علوی پناه. "شناسایی خاک‌های شور منطقه خشک (کاشان) بر مبنای بردازش رقومی داده‌های ماهواره IRS و مطالعات میدانی". مجله آب و آبخیز جلد ۲ شماره ۳.
- ۱۳۹۰ ۲۰. فتاحی، م. م. ۱۳۹۰. کاربرد سنچش از دور و GIS در ارزیابی و طبقه‌بندی شوری زایی به روشن FAO-UNEP (مطالعه موردي: حوضه آبخیز قمرود). سنچش از دور و سامانه اطلاعات جغرافیایی در منابع طبیعی، ۲(۲): ۱۱۱-۱۲۱.
- ۱۳۹۵ ۲۱. محرمي، م. ۱۳۹۵. مدل‌سازی تاثیرات پسروی دریاچه ارومیه بر روستاهای ساحل شرقی با پردازش شیء‌گرای تصاویر ماهواره‌ای، پایاننامه کارشناسی ارشد سنچش از دور و GIS. دانشگاه تبریز.
- ۱۳۹۴ ۲۲. محمودی، ف. ر. جعفری، ح. ر. کریم و زاده ن. رمضانی. ۱۳۹۴. پهنه‌بندی شوری خاک‌های منطقه جنوب شرق استان اصفهان با استفاده از داده‌های زمینی و سنجدندهای TM ماهواره. علوم آب و خاک، ۱۹(۱): ۳۱-۴۵.
- ۱۳۹۵ ۲۳. میرعلیزاده‌فرد، س. ر. و س. م. علی‌بخشی. ۱۳۹۵. پایش و

23. Hoffmann A, Van der Vegt J. 2001. New sensor systems and new classification methods: laserand digital camera-data meet object-oriented strategies. *GeoBIT/GIS*, 6: 18-23.<sup>۱۷+</sup>
24. Lees B. 2006. The spatial analysis of spectral data: Extracting the neglected data. *Applied GIS*, 2(2): 14.11-14.13.
25. Metternicht G. 2001. Assessing temporal and spatial changes of salinity using fuzzy logic, remote sensing and GIS. Foundations of an expert system. *Ecological Modelling*, 144(2): 163-179.
26. Milewski R, Chabirillat S, Behling R. 2017. Analyses of Recent Sediment Surface Dynamic of a Namibian Kalahari Salt Pan Based on Multitemporal Landsat and Hyperspectral Hyperion Data. *Remote Sensing*, 9(2): 170-194.
27. Pei W, Yao S, Knight JF, Dong S, Pelletier K, Rampi LP, Wang Y, Klassen J. 2017. Mapping and detection of land use change in a coal mining area using object-based image analysis. *Environmental Earth Sciences*, 76(3): 125-137.
28. Schiewe J, Tufte L, Ehlers M. 2001. Potential and problems of multi-scale segmentation methods in remote sensing. *GeoBIT/GIS*, 6(1): 34-39.
29. Scudiero E, Skaggs TH, Corwin DL. 2014. Regional scale soil salinity evaluation using Landsat 7, western San Joaquin Valley, California, USA. *Geoderma Regional*, 2: 82-90.
30. Stals, J. P. (2007). Mapping potential soil salinization using rule based object-oriented image analysis (Doctoral dissertation, Stellenbosch: University of Stellenbosch).
31. Stocking 1995. Soil erosion and land degradation. In O'Riordan T (ed) *Environmental Science for Environmental Management*, pp223-242. Harlow: Longman.
32. Yan, GAO., 2003, Pixel Based and Object Oriented Image for Coal Fire Research.
33. Zhang Y, Maxwell T. 2006. A fuzzy logic approach to supervised segmentation for object-oriented classification. In: ASPRS 2006 Annual Conference Reno, Nevada. May 1-5.



## RS & GIS for Natural Resources (Vol. 8/ Issue 3) autumn 2017

Indexed by ISC, SID, Magiran and Noormags  
<http://girs.iaubushehr.ac.ir>



# Modeling the impacts of Urmia lake drought on soil salinity of agricultural lands in the eastern area of fuzzy object based image analysis approach

**K. Mohmadzadeh<sup>1\*</sup>, B. Feizizadeh<sup>2</sup>**

1. MSc. Graduated of Remote Sensing & Geographic Information System, University of Tabriz  
2. Assis. Prof. College of Planning and Environmental Sciences, University of Tabriz

---

### ARTICLE INFO

**Article history:**

Received 9 March 2017

Accepted 20 September 2017

Available online 11 November 2017

**Keywords:**

Fuzzy object based image analysis  
Monitoring of soil salinity  
Agricultural lands  
Eastern area of Uremia Lake

---

### ABSTRACT

Object based image analysis (OBIA) techniques are known as new methods in the domain of remote sensing image processing methods which are having significant potentialities for a variety of applications in pedology sciences. In this regard OBIA known as approach which integrate spectral and spatial pattern of satellite images for obtaining more accurate results. This approach has developed against of pixel based methods which are facing serious challenges due to the similarity index in spectral properties. The main objective of this study is to analyze soil salinity and apply an integrated approach of Fuzzy-object based for monitoring changes in soil characterize in the eastern area of Uremia Lake which has been under an environmental impact of lake drought. For this goal, Landsat 7 satellite images (ETM<sup>+</sup>) of 2000 and Landsat 8 (OLI) satellite image, for 2015 was prepared. In doing so, first pre-processing steps on satellite images were established. Accordingly, soil salinity trends of agricultural croplands in eastern area were evaluated using fuzzy object based image analysis approach. For this goal, we employed the object based features including: NDVI, spectral indices, brightness and NDSI. The results of this research indicated that, significant progress in increasing salinity areas while the soil salinity rate measured up about 21.54 % (833/18 Km<sup>2</sup>). According to the results, the salty barren lands with positive slope 19.7 % represent a positive growth rate while it has increased from 15.3 % to 35.05 %. Results indicated the critical environmental situation for the agriculture croplands located in the Eastern area of Uremia Lake which requires the attention of decision makers and authorizations in the East Azerbaijan province.

---

\* Corresponding author e-mail address: feizizadeh@tabrizu.ac.ir